

# امکان سنجی استفاده از جذب سطحی برای جداسازی نیتروژن از متان

<sup>+</sup>ابراهیم واشقانی فراهانی\*

تهران، دانشگاه تربیت مدرسه، دانشکده فنی مهندسی، بخش مهندسی شیمی، صندوق پستی ۱۴۱۰۵-۴۸۲۷۱

محصوله ابراهیم نژاد

بابل، دانشگاه علوم و فنون مازندران

سعید پاک سرشت، علیمراد رشیدی

تهران، پژوهشگاه صنعت نفت، پژوهشکده توسعه تکنولوژی و پژوهشکده گاز

**چکیده:** جذب گازهای متان و نیتروژن خالص روی سه نوع جاذب (زنولیت ۵A و کربن غربال مولکولی CMS9۰۵ و MS9۳۱) ساخت شرکت تاکدا (Takeda) در دمای ۲۶ درجه سانتی گراد و فشارهای یک تا ده بار به کمک یک دستگاه اندازه گیری ایزوترم و با استفاده از روش های حجمی تعیین شده است. برآورده اطلاعات آزمایشگاهی به دست آمده با مدل های لانگ موئیر، لانگ موئیر-فرنلیج (Sips)، Toth و مدل توسعه یافته لانگ موئیر مورد آزمون قرار گرفت. نتیجه های آزمایشگاهی نشان داد که CMS9۰۵ جاذب بهتری برای جداسازی این دو گاز است و در ثانی مدل لانگ موئیر با داده های آزمایشگاهی مطابقت ندارد. مدل های Toth، Sips و توسعه یافته لانگ موئیر نتیجه های مشابهی می دهند که از بین آنها مدل توسعه یافته به علت سادگی ترجیح داده می شود.

همچنین ایزوترم تعادلی جذب مخلوط گازهای متان و نیتروژن در سه ترکیب متفاوت ۳/۵، ۵/۵ و ۱۰ درصد نیتروژن به دست آمد. مقایسه داده های آزمایشگاهی با سه مدل لانگ موئیر-فرنلیج (Sips)، Toth و لانگ موئیر توسعه یافته نشان داد که تطابق این مدل ها با نتیجه های تجربی مشابه است. از بین این مدل ها، مدل توسعه یافته لانگ موئیر به دلیل سادگی در محاسبات ترجیح داده می شود.

رفتار سنتیکی سیستم CMS9۰۵-N<sub>2</sub>-CH<sub>۴</sub>-C<sub>۴</sub>H<sub>۹</sub> با استفاده از روش های مداوم پیوسته در فشارهای یک اتمسفر و ۱۰/۰۵۶ اتمسفر و با کسرهای مولی نیتروژن برابر ۰/۰۱۹، ۰/۰۴۲ و ۰/۰۰۵ در دمای ۲۶ درجه سانتی گراد مورد بررسی قرار گرفت و منحنی های شکست مریبوط به آنها به دست آمد.

**واژه های کلیدی:** جذب سطحی، جداسازی گازها، نیتروژن، متان، ایزوترم توسعه یافته لانگ موئیر

**KEY WORDS:** Adsorption, Gas separation, Nitrogen, Methane, Extended Langmuir Isotherm

## مقدمه

غاز طبیعی به طور عمده از متان تشکیل شده است و همراه با ناخالصی هایی مانند نیتروژن، کربن دی اکسید و هیدروکربورهای

<sup>+</sup>E-mail: evf@modares.ac.ir

\*عهدہ دار مکانیات

مولکولی است انجام داد. این جاذب شامل کاتیون های منیزیم است که می توان با استفاده از روش های تبادل یونی<sup>(۲)</sup> کاتیون آن را با کاتیون های کلسیم، باریم، روی، مس و کبالت تعویض کرد. با استفاده از این جاذب می توان گازهایی را که ابعاد مولکولی آنها برابر یا کوچکتر از نیتروژن باشد از گازهایی که ابعاد مولکولی آنها برابر یا بیشتر از متان است جدا نمود. از بررسی ها و محاسبات انجام شده در مورد آهنگ جذب و ضریب تفکیک نیتروژن و متان مشاهده شده است که وقتی از کاتیون منیزیم استفاده می شود، انتخابگری جاذب بیشتر است<sup>[۳]</sup>.

### تئوری انتخابگری<sup>(۴)</sup>

مشخصه های متفاوت جاذب ها مثل تخلخل، ساختار روزنه و طبیعت سطوح جذب کننده باعث می شود که جاذب ها انتخابگری متفاوتی داشته باشند. انتخابگری ممکن است به دلایل زیر باشد

- تفاوت در تعادل ترمودینامیکی برای اندکنش جاذب جذب شونده که بیشتر به تأثیر تعادلی معروف است.
- تفاوت در آهنگ نفوذ جذب شونده های متفاوت به درون ساختار جاذب که اغلب به اثر سینتیکی معروف است.
- در برخی موردها تفاوت در ساختمان و ابعاد هندسی جزء جذب شونده و جاذب باعث جداسازی می شود. این مسئله به اثر غربالی معروف است.
- اختلاف در آهنگ دفع جذب شونده ها از جاذب که به اثر دفع سطحی معروف است<sup>[۴]</sup>.

### ایزوترم های جذب سطحی

اگر یک مقدار از گاز یا بخار به وسیله جاذب متخلخل در دمای ثابت و شرایط پایا جذب شود، فشار جزئی تعادلی  $p$  و میزان جذب  $A$  باشد آنگاه  $(p, A)$  ایزوترم جذب نامیده می شود. انعام آزمایش های جذب با گازهای خالص برای تعیین ظرفیت تعادلی و ایزوترم های جذب سطحی یک جاذب و به تبع آن تعیین ضرایب مربوط به مدل های جذب الزامی است. علاوه بر این به علت اندکنش میان مولکول ها در حالت مخلوط، انعام آزمایش ها بر روی

سنگین تر است. در کشور ما از گاز طبیعی هم به عنوان سوخت و هم به عنوان خوراک واحدهای پتروشیمی برای به دست آوردن موادی مانند آمونیاک، اوره، متانول و... استفاده می شود. هرچه متان خالص تر باشد ارزش حرارتی آن بیشتر و هزینه های انتقال آن کمتر است و خوراک مناسب تری برای واحدهای پتروشیمی خواهد بود.

در برخی موردها به دلایل مختلف ممکن است درصد نیتروژن در گاز طبیعی افزایش پیدا کند. به عنوان مثال در برخی از کشورها برای بالا بردن فشار مخازن چاه های نفت و گاز، نیتروژن با فشار بالا به آن تزریق می کنند. تزریق مداوم به مخازن نفت و گاز باعث افزایش مقدار نیتروژن در جریان های گاز طبیعی می شود. وجود هر ده درصد نیتروژن در خطوط لوله هزینه انتقال را ده درصد افزایش می دهد<sup>[۱]</sup>.

برای کاهش میزان نیتروژن در گاز طبیعی روش های متفاوتی وجود دارد. این روش ها به دو دسته عمده تبریدی<sup>(۱)</sup> و غیر تبریدی<sup>(۲)</sup> قابل تقسیم هستند. در حال حاضر، روش های غیر تبریدی مانند جداسازی به وسیله فرآیندهای جذب سطحی با استفاده از تناوب فشار (PSA) به دلیل آسانی عملیات، پایین بودن توان مصرفی و هزینه نگه داری به ویژه در دبی های کم به فرآیندهای تبریدی ترجیح داده می شوند. یک فرآیند PSA برای جداسازی مخلوط نیتروژن متان در دو مرحله توسط بوتول و همکارانش پیشنهاد شده است. در مرحله اول از نوعی جاذب که نسبت به نیتروژن حساس است و در مرحله دوم از نوع دیگری که متان را جذب می کند استفاده می شود<sup>[۲]</sup>.

جداسازی گازها به روش جذب سطحی به طور معمول در یک برج جذب با بستر ثابت که شامل ذرات جاذب می باشد انجام می گیرد. مدل های ریاضی برای درک دینامیک برج جذب و در نتیجه کنترل شرایط جداسازی مورد نیاز است. مدل باید متغیر هایی مانند سرعت، غلظت، و دمای جریان رابه عنوان تابعی از زمان و فاصله طی شده در بستر ارایه دهد تا از روی آن بتوان درصد خلوص، بازده و مقدار بازیافت را محاسبه کرد. مدلی که انتخاب می شود باید شامل ایزوترم های تعادلی جذب و موازنیه جرم و حرارت بین ذرات باشد.

چاو در سال ۱۹۸۹ مطالعاتی برای جدا کردن نیتروژن و متان به وسیله جاذبی به نام Clinoptilolite که یک نوع زئولیت غربال

(۱) Cryogenic

(۲) Non-cryogenic

### معادله لانگ موئیر - فرندلیج [۵]

به علت موفقیت اندک مدل لانگ موئیر در پیش بینی جذب تعادلی مخلوط ها، معادله لانگ موئیر را به فرم فرندلیج تغییر داده اند:

$$\frac{q_1}{q_{S1}} = \frac{b_1 P_1^{n_1}}{1 + b_1 P_1^{n_1}} \quad , \quad \frac{q_r}{q_{Sr}} = \frac{b_r P_r^{n_r}}{1 + b_r P_r^{n_r}} \quad (۴)$$

و برای مخلوط ها :

$$\begin{cases} \frac{q_1}{q_{S1}} = \frac{b_1 P_1^{n_1}}{1 + b_1 P_1^{n_1} + b_r P_r^{n_r}} \\ \frac{q_r}{q_{Sr}} = \frac{b_r P_r^{n_r}}{1 + b_1 P_1^{n_1} + b_r P_r^{n_r}} \end{cases} \quad (۵)$$

این معادلات تجربی در جذب سیستم های گازی دو جزی روی غربال مولکولی کاربرد دارند.

### Toth مدل

رابطه Toth برای  $1 \leq \theta \leq 0$  به صورت تابعی از  $P$  بر حسب  $q$  بیان می شود [۶]:

$$P = \left[ \frac{b}{\theta^{-t} - 1} \right]^{1/t} \quad (6)$$

که در آن  $\theta = \frac{q}{q_s}$  می باشد.

چنانچه در معادله (۶) به جای  $q/q_s = \theta$  مقدار مساوی آن را قرار دهیم رابطه Toth به صورت زیر بیان می شود:

$$\frac{q}{q_s} = \frac{P}{(P^t + b)^{1/t}} \quad (7)$$

مدل Toth به صورت زیر نیز بیان شده است [۷]:

$$\frac{q}{q_s} = \frac{bP}{[1 + (bP)^t]^{1/t}} \quad (8)$$

### مدل توسعه یافته لانگ موئیر

شانکای یاو با اضافه کردن پارامتر سوم در معادله لانگ موئیر معادله زیر را برای جذب سطحی پیشنهاد کرد و آن را مدل توسعه یافته لانگ موئیر نامید [۷]:

مخلوط گازها نیز ضروری میباشد. در این بررسی چهار مدل مورد آزمون قرار گرفته اند.

### ایزووترم لانگ موئیر [۵]

فرض های اساسی در این ایزووترم عبارت اند از:

- 1- مولکول ها در تعداد معینی از موضع جذب می شوند.
- 2- هر موضع فقط یک مولکول جذب شونده را جذب می کند.
- 3- همه موضع از نظر انرژی یکسان هستند.
- 4- هیچ اندرکنشی میان مولکول های جذب شده روی موضع همسایه وجود ندارد. اگر  $q_s = 0$  کسری از سطح پوشیده شده به وسیله ماده جذب شده باشد، می توان ایزووترم لانگ موئیر را به صورت زیر بیان کرد:

$$\theta/(1 - \theta) = \frac{k_a}{k_d} P = b p \quad (1-a)$$

یا

$$\theta = \frac{q}{q_s} = \frac{bP}{1 + bP} \quad (1-b)$$

که در آن  $k_a$  ثابت دفع،  $k_d$  ثابت جذب،  $b = k_a/k_d$  ثابت تعادل جذب و  $q_s$  ظرفیت اشباع جذب است.

معادله لانگ موئیر را به صورت زیر می توان خطی کرد:

$$\frac{P}{q} = \frac{1}{bq_s} + \frac{P}{q_s} \quad (2-a)$$

یا

$$\frac{1}{q} = \frac{1}{q_s} + \frac{1}{bq_s} \frac{1}{P} \quad (2-b)$$

وقتی که  $p/b$  بر حسب  $P$  و  $1/q$  بر حسب  $1/P$  رسم شود، از روی ضریب زاویه و عرض از مبدأ می توان مقادیر  $b$  و  $q_s$  را محاسبه نمود. روش هایی که برای به دست آوردن ایزووترم های تک جزی مورد استفاده قرار می گیرد می تواند برای سیستم های چند جزی نیز به کار گرفته شود (چنانچه ترکیب فاز گازی مشخص باشد). در این سیستم ها میزان پوشیدگی کلی مجموع پوشیدگی هر کدام از اجزا خواهد بود. معادله لانگ موئیر برای جذب جز آ در مخلوط گازها به صورت زیر داده شده است:

$$\theta_i = \left( \frac{q_i}{q_{Si}} \right) = \frac{b_i P_i}{1 + \sum_{j=1}^n b_j P_j} \quad (2)$$

$q_{Si}$  مقدار جز آ در تک لایه از مخلوط جذب شونده است.

به دست آمد [۱۱].

$$\frac{q}{q_s} = \frac{bp}{1 + bp + C\sqrt{bp}} \quad (9)$$

### (۱) منحنی های شکست

یک دیگر از اطلاعات مورد نیاز در طراحی ستون های جذب منحنی های شکست است که رفتار سینتیکی جاذب را وقتی جریانی متشکل از دو یا چند گاز به طور مداوم وارد بستر پر از ذره های جاذب می شود، نشان می دهد. تجزیه جریان خروجی از بستر در فاصله های زمانی مشخص، نشان می دهد که این جریان عاری از جزئی است که سریع تر جذب جاذب شده و با گذشت زمان غلظت این جز بیشتر می شود تا اینکه به حدود غلظت اولیه اش برسد که غلظت تخلیه نامیده می شود.

اگر غلظت جزء، جریان خروجی را به عنوان تابعی از زمان رسم شود، منحنی شکست به دست می آید. می توان گفت منحنی شکست پاسخ یک بستر جاذب (که در ابتدا تمیز و عاری از جذب شونده است) به یک جریان با ترکیب ثابت در شرایط معین است. زمان شکست  $t_{eq}$ ، زمانی است که در آن جهت منحنی شکست تعییر می کند. به عبارت دیگر زمانی که در آن موج وارد شده به انتهای بستر می رسد.

### بخش تجربی

#### دستگاه های اندازه گیری جذب

شکل ۱ نموداری از دستگاه تعیین ایزووترم گاز خالص را نشان می دهد که در این تحقیق مورد استفاده قرار گرفته است. ستون جذب از جنس فولاد زنگ نزن، به طول ۶۰ و به قطر ۲ سانتی متر می باشد که در یک گرم کن الکترونیکی قرار گرفته است. این گرم کن قادر است حداقل تا دما ۴۰۰ درجه سانتی گراد را تأمین نماید. دما به وسیله یک ترموموکوپل که در وسط ستون جذب قرار داده می شود اندازه گیری می شود و به وسیله یک سیستم TIC کنترل می گردد. محفظه اندازه گیری  $t_{eq}$  استوانه ای از جنس فولاد زنگ نزن به طول  $49\frac{1}{4}$  سانتی متر و به قطر ۲ اینچ است. این محفظه نیز مجهز به سیستم های اندازه گیری فشار و دما است. برای ایجاد خلاء از یک سیستم خلاء مجهز به یک پمپ خلاء و فشارسنج استفاده می شود. محفظه ای که برای مخلوط کردن دو گاز به کار می رود از جنس فولاد زنگ نزن و به

این معادله را به شکل ساده تری هم می توان نوشت:

$$\frac{P}{q} = \frac{1}{q_s b} (1 + bp + C\sqrt{bp}) \quad (10)$$

این معادله نشان می دهد که پارامترهای این مدل را می توان با استفاده از روش های خطی تعیین نمود در حالی که پارامترهای دومدل Langmuir-Freundlich و Toth با روش خطی به دست نمی آید. در سال ۱۹۹۰، یانگ و آکلی، برای جذب مخلوط متان- نیتروژن روی جاذب غربال مولکولی (CMS) ساخت شرکت Bergbau - Forschung داده های آزمایشگاهی را با مدل لانگ مؤثیر مقایسه نموده و ثابت های مدل را به دست آورند [۸].

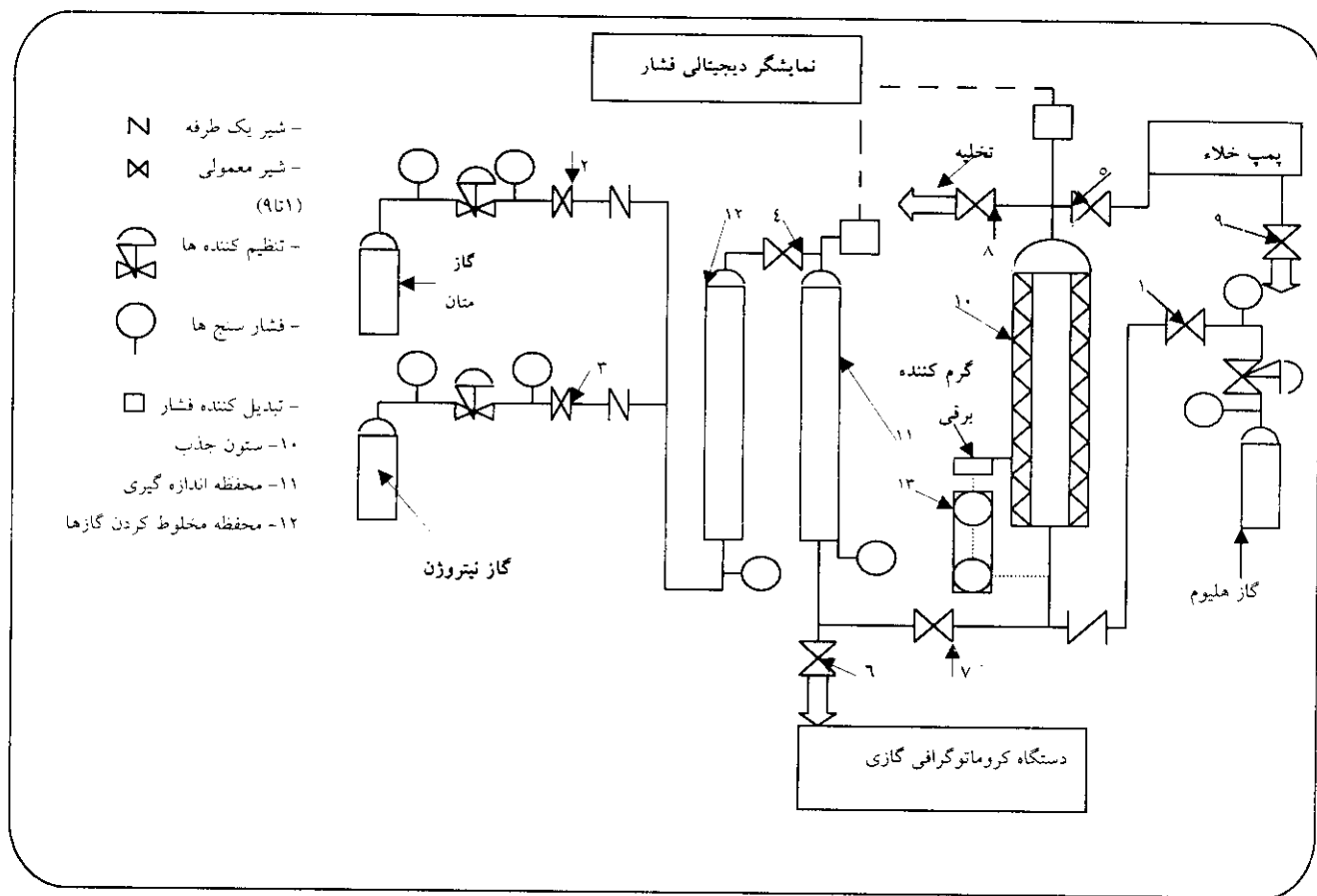
در سال ۱۹۷۴ جذب تعادلی گازهای متان، اتان، اتیلن، پروپیلن، پروپان پنتان نرمال، بنزن و سیکلوهگزان روی یک نوع کربن غربال مولکولی (CMS؛ اندازه حفره ها در حدود ۵ آنگستروم) ساخت شرکت Takeda با استفاده از روش های وزنی توسط ناکاهارا و همکارانش مورد بررسی قرار گرفت. آزمایش ها در دماهای  $5/4$  و  $30$  درجه سانتی گراد و فشار تا حدود یک اتمسفر انجام و منحنی های مربوط به ایزووترم جذب متan روی این جاذب ارایه شده است [۹]. داده های آزمایشگاهی حاصل از این مطالعه با مدل Toth مقایسه شده است [۶].

جادب دیگری که برای جداسازی نیتروژن از متان به کار برده شده است سیلیکات آلومینیم جایگزین شده با کلسیم است. آزمایش ها برای متان خالص، نیتروژن خالص و مخلوط یک درصد آنها انجام گرفته است. در این آزمایش ها از روش های حجمی استفاده شده و ایزووترم های به دست آمده در دماهای  $175$ ،  $195$  و  $295$  درجه کلوین رسم شده است. داده های آزمایشگاهی به دست آمده با دو مدل فرندیچ و لانگ مؤثیر مقایسه شده اند [۱۰].

لوگلین و همکارانش جذب سطحی گازهای نیتروژن و متان را بر روی کربن غربال مولکولی ساخت شرکت Bergbau Forschung بررسی نموده و با انتخاب مدل لانگ مؤثیر ثابت های مربوط به تعادل و آهنگ جذب را به دست آورند. این اندازه گیری ها با استفاده از روش های وزنی و حجمی و کروماتوگرافی

(۱) Breakthrough Curves

(۲) Temperature indicator & Controller



شکل ۱- دستگاه اندازه گیری داده های مربوط به ایزوترم جذب سطحی گازها

می شوند.

### جادب ها

جادب هایی که در این مطالعه مورد استفاده قرار گرفته اند عبارت اند از:

- اکسیرودهای استوانه ای زئولیت ۵A ساخت شرکت Union Carbide در اندازه های ۱/۱۶ اینچ که سطح ویژه آن ۳۶۶ متر مربع بر گرم است.

- کربن غربال مولکولی (CMS) ساخت شرکت Takeda در اندازه های ۷-۱۴ mesh در دو نوع متفاوت: CMS۹۳۸ و CMS۹۵۵. سطح ویژه این جاذب ۶۱۷ متر مربع بر گرم، دانسیته آن ۷۰۰ گرم بر لیتر و حجم منفذ آن ۲۸/۰ سانتی متر مکعب بر گرم است.

حجم ۰/۵ لیتر است. در خروجی سیستم یک دستگاه کروماتوگرافی گازی (GC) برای تجزیه گازها قرار داده شده است. شکل ۲، نمودار دستگاهی است که برای تهیه داده های منحنی شکست مورد استفاده قرار گرفته است. این دستگاه از یک راکتور استوانه ای از جنس فولاد زنگ نزن که درون یک گرم کن الکتریکی قرار گرفته است، تشکیل شده و به وسیله یک کنترل کننده، دمای آن تنظیم می شود. برای ثابت نگاه داشتن فشار از یک شیر فشار معکوس<sup>(۱)</sup> استفاده شده است. یک نمونه گیر بر قی که قادر است دوازده نمونه را در فاصله های زمانی معین بگیرد متصل به دستگاه GC می باشد. مسیر جابجایی<sup>(۲)</sup> برای اندازه گیری غلط خواک تعییه شده است. کنترل کننده های A و B و C به ترتیب برای تنظیم جریان گازهای متان، نیتروژن و هلیوم در نظر گرفته شده اند که با استفاده از یک جریان سنج حبابی کالیبره

(۱) Back pressure relief valve

(۲) Bubble flowmeter

(۳) By pass

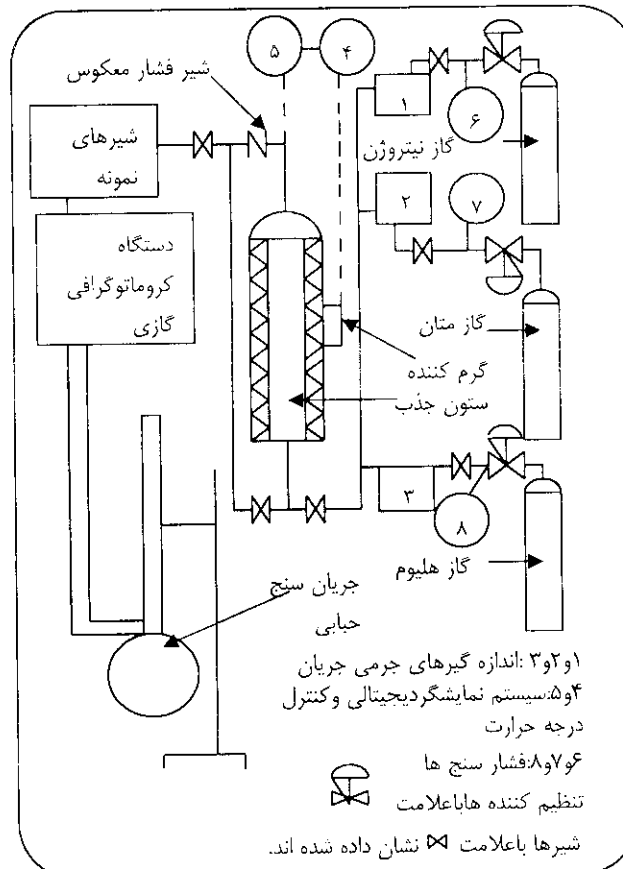
خاموش می شود و سیستم تحت خلاه قرار می گیرد. آن گاه ستون جذب از بقیه سیستم جدا می شود (با بستن شیر ۷). برای به دست آوردن داده های مربوط به گاز خالص بعد از سرد شدن سیستم مقداری گاز را با فشار معین در محفظه اندازه گیری محبوس ساخته و فشار و دما را می خوانیم (P<sub>1</sub> و T<sub>1</sub>). بعد از خواندن دما و فشار شیر ۷ را باز کرده اجازه می دهیم تا گاز درون محفظه اندازه گیری وارد ستون جذب، که در دمای مشخصی قرار دارد، شود. مقداری از این گاز جذب جاذب می شود و مقداری هم در فضای خالی میان ذره های جاذب باقی می ماند. وقتی سیستم به حالت تعادل می رسد فشار محفظه اندازه گیری و ستون جذب با هم برابر می شود (P<sub>2</sub>).

از روی مقدار افت فشار به وجود آمده در محفظه اندازه گیری با استفاده از معادله حالت گاز ایده آل می توان میزان کاهش مول ها را محاسبه کرد (n<sub>1</sub>-n<sub>2</sub>). قسمتی از این کاهش در تعداد مول ها مربوط به جذب روی جاذب و مقداری هم مربوط به مول های موجود در فاز گاز (فضای خالی میان ذره های جاذب) می باشد. برای اندازه گیری مقدار مول های موجود در فاز گاز آزمایش را با گاز هلیوم که مقدار جذب آن روی بیشتر جاذب های شناخته شده و متداول ناچیز و قابل صرف نظر کردن است انجام می دهیم [۱۲]. دقیت نتایج آزمایشگاهی به دست آمده برای فشار برابر  $0.023 \pm 0.002$  می باشد.

برای جذب مخلوط دوتایی گازهای نیتروژن و متان حداقل زمانی برابر با ۱۵ ساعت برای تماس ذره های جاذب با مخلوط گازها لازم است تا تعادل برقرار شود. بعد از برقراری تعادل، افزون بر دما و فشار محفظه اندازه گیری ترکیب گاز درون محفظه به وسیله GC تعیین می شود.

برای گازهای خالص، با استفاده از معادله حالت گاز ایده آل که برای سیستم های نیتروژن و متان به کار می رود میزان مول های جذب شده برای هر کدام از گازها را محاسبه می کنیم و برای مخلوط گازها براساس تجربه و با توجه به نرم افزار (Hysys) از معادله حالت پنگ- راینسون استفاده می شود. دقیت نتیجه های آزمایشگاهی به دست آمده برای کسر مولی گازها  $0.012 \pm 0.002$  می باشد.

برای تعیین منحنی های شکست، ابتدا ستون جذب در دمای ۳۰۰ درجه سانتی گراد و جریان آرام گاز هلیوم برای مدت حداقل ۱۵ ساعت قرار داده می شود تا جاذب به طور کامل کاهش یابد سپس، مخلوطی با ترکیب مشخص از متان و نیتروژن ساخته می



شکل ۲- دستگاه اندازه گیری داده های مربوط به منحنی شکست (Breakthrough)

## گازها

گازهایی که در آزمایش ها مورد استفاده قرار گرفته اند عبارت اند: گازهای نیتروژن، متان و هلیوم خارجی با درصد خلوص بالا (۹۹/۹ درصد) که در کپسول های تحت فشار از شرکت Roham Gas تهیه شده اند.

## روش انجام آزمایش ها

ستون جذب را از مقدار مشخصی از ماده جاذب (در هر آزمایش ۲۰ گرم) پر کرده و گلوله های شیشه ای برای یکنواخت کردن جریان و جلوگیری از هم ریختن جاذب در بالا و پایین بستر جذب قرار داده می شود. بعد از آماده کردن دستگاه جریان آرامی از هلیوم از سیستم به مدت تقریبی ۱۶ ساعت و در دمای ۳۰۰ درجه سانتی گراد عبور داده می شود. سپس گرم کن برقی

جذب آن روی نوع ۹۳۸ می باشد.

جالب توجه است که در تحقیقات قبلی از نوع دیگری کربن غربال مولکولی استفاده شده بود که گرچه سرعت جذب سینتیکی نیتروژن در آن بیشتر از متان بود ولی از نظر تعادلی نسبت به متان انتخابگری بیشتری از خود نشان می داد [۸]. بر اساس آن تحقیقات، آنکه و یا نگ مشاهده کردند که اندازه ذره ها تاثیر چندانی روی داده های مربوط به سرعت جذب ندارد و بنابراین نفوذ به وسیله منفذهای میکرو کنترل می شود.

برای مقایسه داده های آزمایشگاهی با مدل های لانگ موئیر-فرنلیج (Sips)، مدل Toth و مدل لانگ موئیر توسعه یافته برنامه کامپیوتري در محیط MATLAB نوشته شده و با به کار گرفتن روش حداقل مربعات<sup>(۱)</sup> برآنش مدل ها با داده های آزمایشگاهی برای جذب هر گاز روی سه جاذب به کار رفته بررسی شد. پارامتر های این مدل ها در جدول ۲ و جزئیات محاسبات در مرجع [۱۳] آورده شده است. لازم به ذکر است که به عنوان حدس اولیه برای تعیین این پارامتر ها از پارامترهای مدل لانگ موئیر استفاده شده است. نتیجه های حاصل از این محاسبات و داده های آزمایشگاهی در شکل های ۶ تا ۸ با هم مقایسه شده اند. چنان که مشاهده می شود، تطابق خوبی بین داده های آزمایشگاهی و مقدارهای محاسبه شده به وسیله هر سه مدل وجود دارد. بنابر این مدل لانگ موئیر توسعه یافته به دلیل سادگی در محاسبات برای پیش بینی داده های آزمایشگاهی ترجیح داده می شود.

## جذب مخلوط گازها

داده های تعادلی ایزووترم جذب برای سه ترکیب اولیه متان- نیتروژن (۳/۵، ۵ و ۱۰ ادرصد نیتروژن) با روش های آزمایشگاهی مورد اشاره روی کربن غربال مولکولی نوع ۹۵۵ شرکت Takeda ۲۶ به دست آمد. گستره فشار از یک تا ده بار و دمای ستون جذب درجه سانتی گراد انتخاب شد. در انجام محاسبات مربوط به میزان مول های جذب شده از معادله حالت پنگ- راینسون و از نرم افزار Hysys استفاده شد. داده های آزمایشگاهی به دست آمده در سه مدل لانگ موئیر- فرنلیج (Sips)، مدل Toth و مدل لانگ موئیر توسعه یافته منظور گردید و پارامترهای مربوط به هر مدل به دست آمد [۱۳].

(۱) Least square

شود. ابتدا با استفاده از مسیر جانبی ترکیب خوراک به وسیله GC به دست می آید سپس جریان خوراک وارد بستر می شود. همزمان با آن نمونه گیر بر قی عمل می کند و در فاصله های زمانی معین که در پیش برنامه آن داده شده است از جریان خروجی نمونه گیری می شود. بعد از اتمام نمونه گیری، نمونه ها را به GC تزریق و مورد تجزیه قرار می دهیم. به این ترتیب در فاصله های زمانی معین غلظت جریان خروجی را به دست آورده منحنی غلظت در برابر زمان رسم می شود.

## نتایج و بحث

### جذب گازهای خالص

مقدار به دست آمده برای جذب گازهای خالص متان و نیتروژن روی سه نوع جاذب Zeolite ۵A (Takeda ۲۹۹) در دمای ۴۰°C، CMS۹۳۸، CMS۹۵۵، کلوین و فشارهای متفاوت بر حسب میلی مول بر گرم در جدول ۱ آورده شده است. این داده های آزمایشگاهی با چهار مدل ایزووترم برای جذب سطحی مقایسه شده اند که در ذیل به شرح آنها می پردازیم. با استفاده از داده های آزمایشگاهی مندرج در جدول ۱ برای جذب سطحی و گاز متان و نیتروژن روی جاذب های متفاوت، مقدارهای  $1/p$  و پارامترهای مدل لانگ موئیر (معادله ۲) محاسبه شده و نمودارهای مربوط در شکل های ۳ تا ۵ نشان داده شده اند.

پارامترهای مدل در جدول ۲ ارایه شده اند. همان طور که مشاهده می شود، تطابق خوبی بین داده های آزمایشگاهی و مدل لانگ موئیر وجود ندارد و مقدار جذب متان روی زوئیلت ۵A در فشار های پایین به طور قابل توجهی بیشتر از جذب نیتروژن است اما مقدار جذب نیتروژن روی هر دو جاذب از نوع کربن غربال مولکولی بیشتر از جذب متان است. اندازه توزیع حفره ها در کربن غربال مولکولی بین  $2/8$  تا  $4/1$  آنگستروم می باشد و با توجه به اینکه قطر مولکولی نیتروژن ( $3/64$  آنگستروم) کوچکتر از قطر مولکولی متان ( $3/8$  آنگستروم) است، نیتروژن سریع تر در حفره ها نفوذ کرده و بنابر این فرصتی برای جذب متان در زمان های کم (تا ۲۰ دقیقه) نمی دهد. همچنین می توان نتیجه گرفت که مقدار جذب نیتروژن روی کربن غربال مولکولی نوع ۹۵۵ بیشتر از

جدول ۱- داده های آزمایشگاهی مربوط به ایزوترم جذب سطحی گازهای متان و نیتروژن خالص روی زئولیت ۵A و کربن غربال مولکولی ساخت شرکت Takeda از نوع CMS۹۵۵ و CMS۹۳۸ در دمای ۲۹۹ کلوین در فشارهای متفاوت

CH <sub>4</sub> - CMS۹۵۵		CH <sub>4</sub> - CMS۹۳۸		CH <sub>4</sub> - ZDA	
P(بار)	میلی مول بر گرم(q)	P(بار)	میلی مول بر گرم(q)	P(بار)	میلی مول بر گرم(q)
۰/۷۹۵	۰/۱۲۹	۰/۸۳۰	۰/۸۰۰	۰/۰۸۰	۰/۶۴۵
۱/۸۰۰	۰/۱۰۸	۱/۸۰۰	۰/۰۷۳	۱/۷۰۹	۰/۸۹۴
۲/۸۲۰	۰/۲۳۲	۲/۸۴۰	۰/۱۴۰	۲/۷۶۵	۱/۰۱۶
۳/۸۶۰	۰/۳۸۴	۳/۸۹۰	۰/۲۱۹	۳/۸۲۰	۱/۱۵۷
۴/۸۸۰	۰/۴۳۴	۴/۸۸۰	۰/۲۷۹	۴/۸۱۰	۱/۲۹۳
۵/۸۳۰	۰/۵۸۰	۵/۸۶۰	۰/۳۶۱	۵/۷۹۰	۱/۴۳۷
۶/۸۵۰	۰/۶۴۲	۶/۸۵۰	۰/۴۲۱	۶/۷۸۰	۱/۵۸۰
۷/۸۳۰	۰/۷۱۲	۷/۸۳۰	۰/۰۲	۷/۷۶۰	۱/۷۲۲
۸/۸۹۰	۰/۷۹۰	۸/۸۹۰	۰/۵۶۰	۸/۷۵۰	۱/۹۰۶
۹/۸۷۰	۰/۹۱۹	۹/۸۷۰	۰/۶۲۹	۹/۸۰۰	۲/۰۵۰
N <sub>2</sub> - CMS۹۵۵		N <sub>2</sub> - CMS۹۳۸		N <sub>2</sub> - ZDA	
P(بار)	میلی مول بر گرم(q)	P(بار)	میلی مول بر گرم(q)	P(بار)	میلی مول بر گرم(q)
۰/۷۴۵	۰/۵۰۱	۰/۶۵۶	۰/۴۸۸	۰/۷۹۵	۰/۱۶۱
۱/۷۴۰	۰/۶۸۷	۱/۷۸۰	۰/۵۹۱	۱/۷۸۰	۰/۳۰۲
۲/۷۶۰	۰/۸۸۷	۲/۸۰۰	۰/۷۲۷	۲/۷۶۵	۰/۴۴۴
۳/۸۲۰	۱/۱۰۹	۳/۸۶۰	۰/۸۶۴	۳/۸۲۰	۰/۵۸۲
۴/۸۴۰	۱/۲۴۱	۴/۸۴۰	۱/۰۰۷	۴/۸۰۰	۰/۷۴۷
۵/۸۲۰	۱/۳۱۷	۵/۸۳۰	۱/۱۴۷	۵/۷۹۰	۰/۸۸۶
۶/۸۵۰	۱/۳۷۸	۶/۸۱۰	۱/۲۹۰	۶/۷۸۰	۱/۴۲۸
۷/۸۳۰	۱/۴۰۸	۷/۸۳۰	۱/۳۶۳	۷/۷۶۰	۱/۱۷۱
۸/۸۹۰	۱/۵۱۰	۸/۸۹۰	۱/۴۲۱	۸/۸۲۰	۱/۳۱۱
۹/۸۷۰	۱/۶۲۰	۹/۸۷۰	۱/۵۳۵	۹/۸۰۰	۱/۴۶۰

فشار اتمسفری ۸/۱۰۵۶ درصد نیتروژن و فشار یک اتمسفری ۴/۲ درصد نیتروژن و فشار یک اتمسفری ۱/۹ از متان و نیتروژن آزمایش ها بر حسب غلظت نیتروژن در جریان خروجی در مقابل زمان در شکل های ۱۲ و ۱۳ ارایه شده است.

همان طور که مشاهده می شود در جریان خروجی از ستون جذب، متان خالص تا زمان رسیدن به نقطه شکست<sup>(۱)</sup> به دست می آید و با افزایش فشار زمان رسیدن به نقطه شکست طولانی تر شده و جداسازی بهتر انجام می گیرد، زیرا بالارفتن فشار موجب افزایش سرعت نفوذ گاز در جاذب و در نتیجه افزایش سرعت جذب می شود. افزایش غلظت نیتروژن در خوراک ورودی تا محدوده کسر مولی ۰/۰۴۲ تاثیر قابل توجهی روی زمان رسیدن به نقطه شکست نداشت.

### نتیجه گیری

نتیجه های حاصل از این مطالعه را به صورت زیر می توان خلاصه نمود:

- زئولیت ۵A تمايل بیشتری برای جذب متان نسبت به

با استفاده از این نتیجه ها برای هر ترکیب اولیه از متان و نیتروژن ایزووترم های جذب به دست آمده و داده های آزمایشگاهی با مقادیر محاسبه شده به وسیله مدل لانگ مؤثیر توسعه یافته (با توجه به سادگی آن نسبت به دو مدل دیگر) در شکل های ۹ تا ۱۱ مقایسه شده اند. چنان که مشاهده می شود برای هر سه خوراک (با سه ترکیب متفاوت) مقدار جذب گاز متان بیشتر از جذب نیتروژن می باشد و با افزایش مقدار نیتروژن در خوراک، مقدار جذب آن نیز به دلیل افزایش گرادیان غلظت (پتانسیل شیمیایی) افزایش می یابد. علاوه بر این بین داده های آزمایشگاهی و مقادیر محاسبه شده توسط مدل لانگ مؤثیر توسعه یافته تطابق خوبی وجود دارد. پارامترهای این مدل برای سیستم N<sub>2</sub>-CH<sub>4</sub>-CMS۹۵۵ در جدول ۲ ارایه شده است.

### جذب دینامیکی مخلوط گازها (منحنی های شکست)

آزمایش های مربوط به منحنی های شکست در چهار حالت ۵/۰ درصد نیتروژن و فشار یک اتمسفر، ۵/۰ درصد نیتروژن و

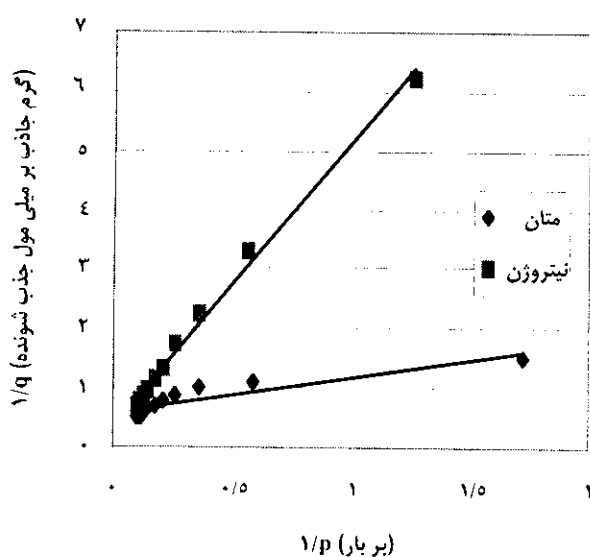
(۱) Breakthrough point

جدول ۲- پارامترهای محاسبه شده برای مدل های ایزو ترم جذب سطحی دو گاز متان و نیتروژن بر روی زئولیت ۵A، کربن غربال مولکولی ساخت شرکت Takeda از نوع CMS۹۵۵ و CMS۹۳۸ در دمای ۲۹۹ درجه کلوین

سیستم \ مدل	لانگ موئیر	لانگ موئیر - فرنلیج	Toth	لانگ موئیر توسعه یافته
CH <sub>4</sub> - Zeolite 5A	b=+0.980 q <sub>s</sub> =1/990	b=-0.796 q <sub>s</sub> =9/8128 n=+0598	b=-0.3777 q <sub>s</sub> =-21/690 t=+2289	b=-0.4284 q <sub>s</sub> =13/2017 c=11/6718
N <sub>2</sub> - Zeolite 5A	b=+0.677 q <sub>s</sub> =-10.850	b=-0.202 q <sub>s</sub> =7/1826 n=-10.880	b=-0.220 q <sub>s</sub> =7/1468 t=+0149	b=-0.286 q <sub>s</sub> =5/0720 c=-0/0540
CH <sub>4</sub> - CMS955	b=+0.110 q <sub>s</sub> =+0.110	b=-0.280 q <sub>s</sub> =7/5811 n=1/2756	b=-0.223 q <sub>s</sub> =2/1582 t=2/5108	b=-0.359 q <sub>s</sub> =7/0028 c=-0/9527
N <sub>2</sub> - CMS955	b=+0.640 q <sub>s</sub> =1/6030	b=-0.164 q <sub>s</sub> =7/9482 n=+7321	b=-0.2822 q <sub>s</sub> =2/7190 t=+0.023	b=-0.5702 q <sub>s</sub> =5/7837 c=5/7400
CH <sub>4</sub> - CMS938	b=+0.1400 q <sub>s</sub> =+0.7327	b=-0.163 q <sub>s</sub> =7/1970 n=1/4100	b=-0.107 q <sub>s</sub> =5/8319 t=7/8759	b=-0.186 q <sub>s</sub> =7/1797 c=-1/3078
N <sub>2</sub> - CMS938	b=+0.7794 q <sub>s</sub> =1/3250	b=-0.722 q <sub>s</sub> =7/5231 n=-0.7193	b=-0.1909 q <sub>s</sub> =7/2980 t=+0.3766	b=-0.1702 q <sub>s</sub> =12/6992 c=8/9460

(میلی مول بر گرم)

بدون بعد

b  
t  
c  
n

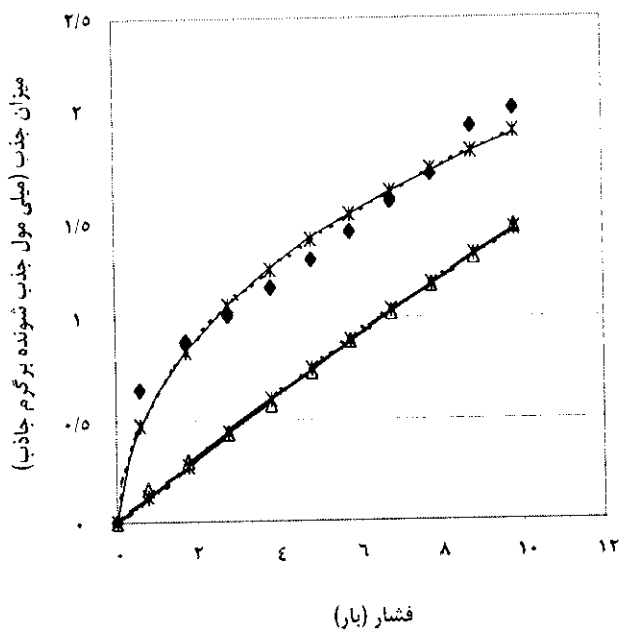
شکل ۳- مقایسه داده های آزمایشگاهی با معادله لانگ موئیر برای جذب نیتروژن و متان روی زئولیت ۵A در دمای ۲۹۹ درجه کلوین

نیتروژن نشان می دهد (شکل ۶). یعنی به عبارت دیگر این جاذب متان را جذب و نیتروژن را دفع می کند، این موضوع با توجه به اثر غربالی زئولیت و کوچک بودن اندازه قطر مولکول نیتروژن قابل توجیه می باشد.

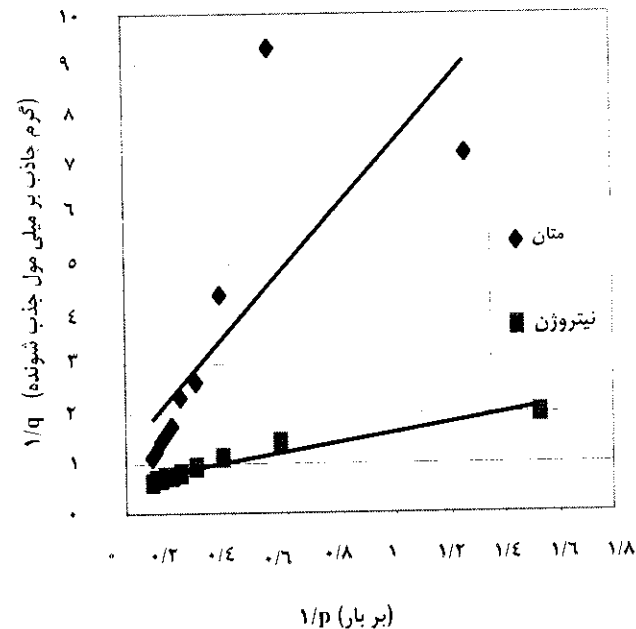
- کربن غربال مولکولی ساخت شرکت Takeda برای تصفیه گاز متان مناسب می باشد، زیرا نیتروژن را جذب می کند و نسبت به گاز متان تمایل به جذب قابل توجیه نشان نمی دهد (شکل های ۷ و ۸).

- از بین دو نوع غربال مولکولی ساخت Takeda، جاذب CMS955 مناسب تر است زیرا ظرفیت تعادلی اش برای جذب نیتروژن بیشتر از CMS938 است.

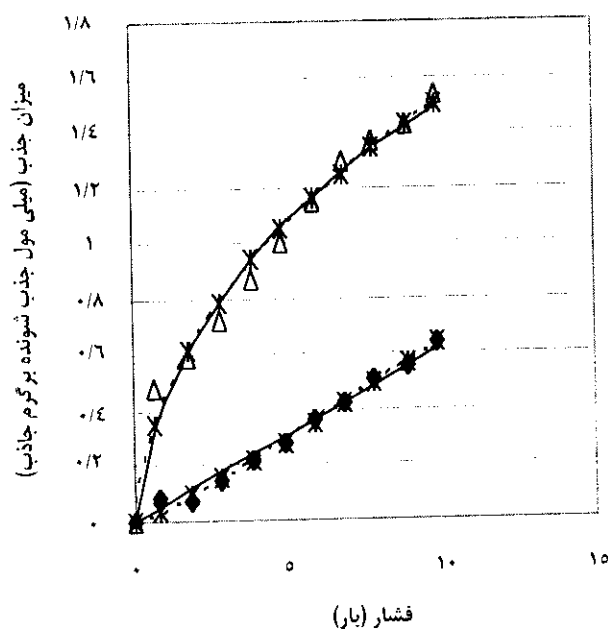
- مقایسه داده های آزمایشگاهی با محاسبات مدل های نظری نشان داد که:



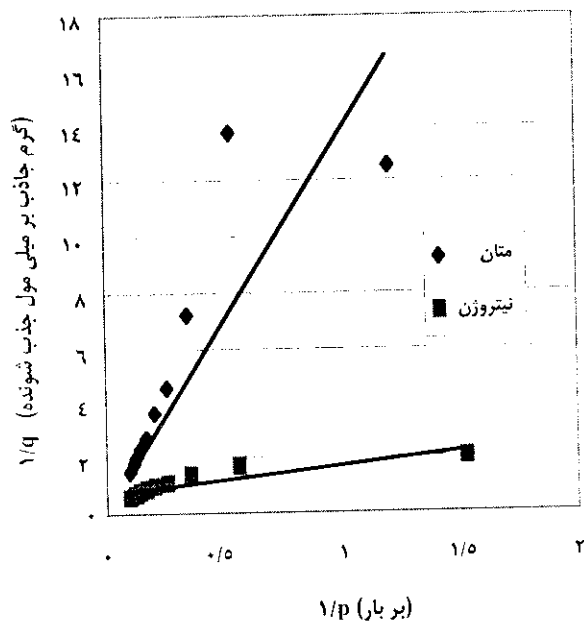
شکل ۶- مقایسه نتایج آزمایشگاهی برای ایزوترم جذب نیتروژن خالص ( $\Delta$ ) و متان ( $\blacklozenge$ ) خالص روی زنولیت ۵A با مدل های Sips (....) و لانگ موئیر توسعه یافته (\*) در دمای ۲۹۹ درجه کلوین



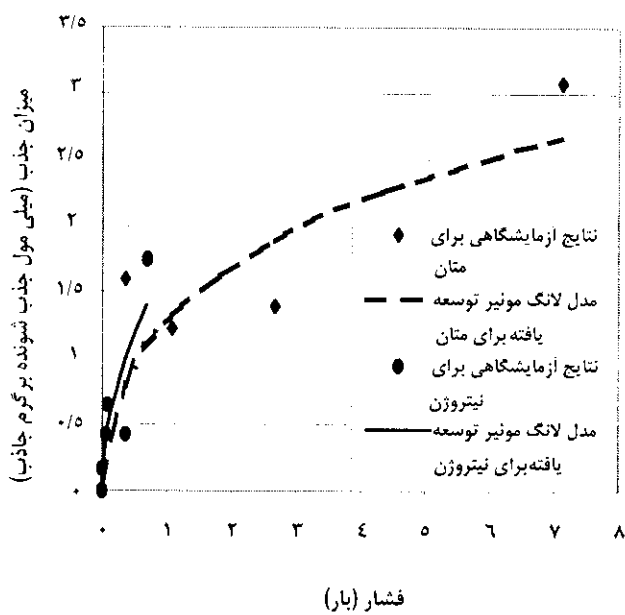
شکل ۴- مقایسه داده های آزمایشگاهی با معادله لانگ موئیر برای جذب نیتروژن و متان روی CMS۹۵۵ در دمای ۲۹۹ درجه کلوین



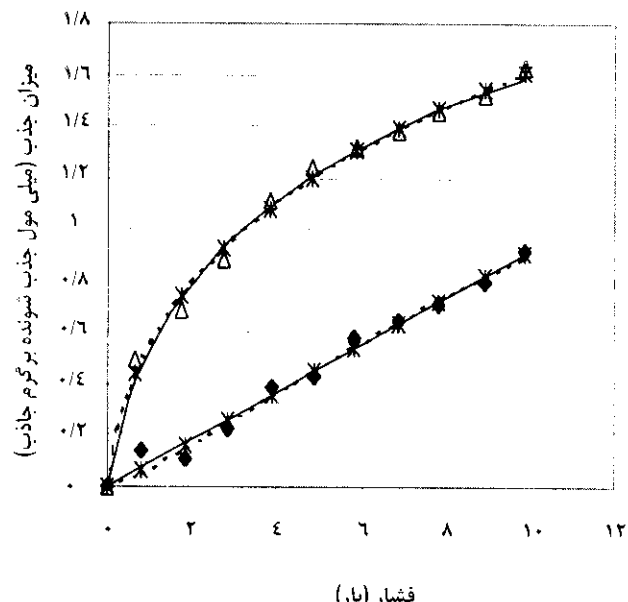
شکل ۷- مقایسه نتایج آزمایشگاهی برای ایزوترم جذب نیتروژن خالص ( $\Delta$ ) و متان خالص ( $\blacklozenge$ ) روی CMS۹۳۸ در دمای ۲۹۹ درجه کلوین



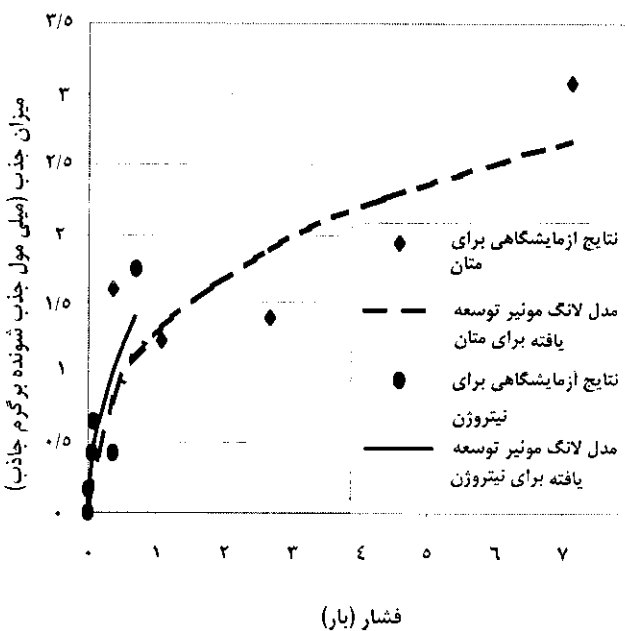
شکل ۵- مقایسه داده های آزمایشگاهی با معادله لانگ موئیر برای جذب نیتروژن و متان روی CMS۹۳۸ در دمای ۲۹۹ درجه کلوین



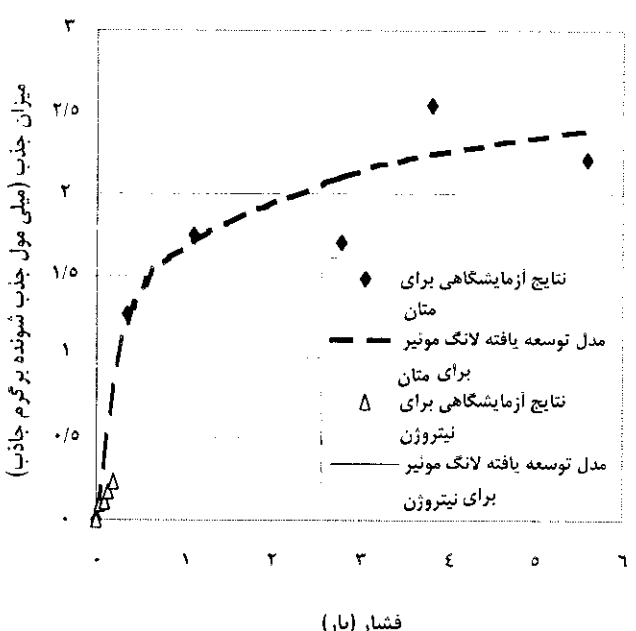
شکل ۱۰- مقایسه داده های آزمایشگاهی برای ایزووترم جذب متان و نیتروژن روی CMS<sub>955</sub> در مخلوط دو جزی متان- نیتروژن با مدل توسعه یافته لانگ موئیر در دمای ۲۹۹ درجه کلوین و ترکیب اولیه نیتروژن برابر ۰.۰۵



شکل ۸- مقایسه نتایج آزمایشگاهی برای ایزووترم جذب نیتروژن Toth خالص (Δ) و متان خالص (◆) روی CMS<sub>955</sub> با مدل های (Sips, ....) و لانگ موئیر توسعه یافته (\*) در دمای ۲۹۹ درجه کلوین



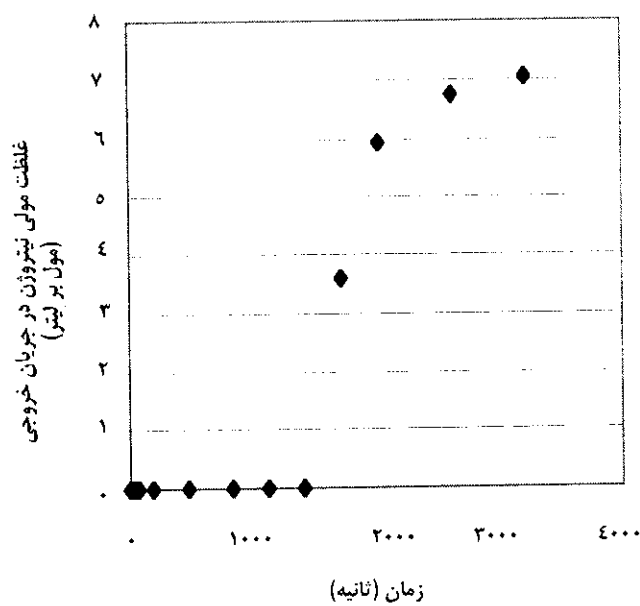
شکل ۱۱- مقایسه داده های آزمایشگاهی برای ایزووترم جذب متان و نیتروژن روی CMS<sub>955</sub> در مخلوط دو جزی متان- نیتروژن با مدل توسعه یافته لانگ موئیر در دمای ۲۹۹ درجه کلوین و ترکیب اولیه نیتروژن برابر ۰.۱



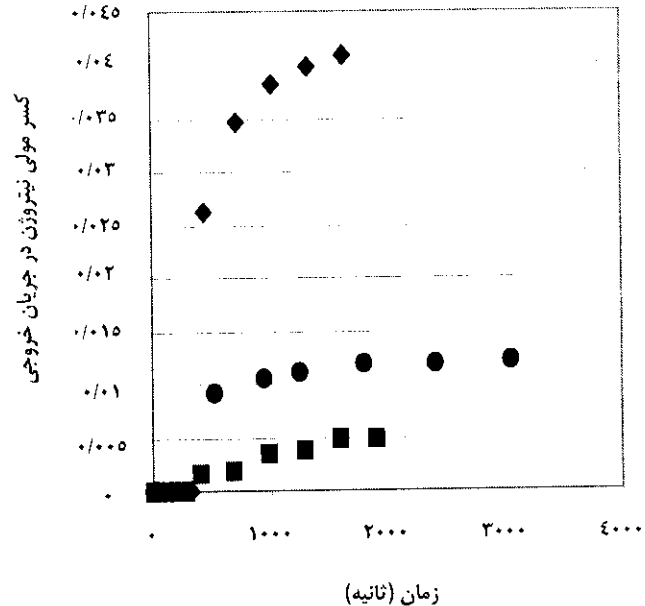
شکل ۹- مقایسه داده های آزمایشگاهی برای ایزووترم جذب متان و نیتروژن روی CMS<sub>955</sub> در مخلوط دو جزی متان- نیتروژن با مدل توسعه یافته لانگ موئیر در دمای ۲۹۹ درجه کلوین و ترکیب اولیه نیتروژن برابر ۰.۳۵

جدول ۳- پارامترهای مدل توسعه یافته لانگ موئیر برای ایزوترم جذب سطحی دو گاز نیتروژن و متان روی CMS۹۵۵ در مخلوط دوجزی N<sub>۲</sub>-CH<sub>۴</sub> با سه کسر مولی متفاوت و در دمای ۲۹۹ درجه کلوین.

تعداد مول های اولیه گاز N <sub>۲</sub>	.۰/۰۳	.۰/۰۵	.۰/۱
جز گازی			
CH <sub>۴</sub>	q <sub>s</sub> = ۳/۴۴۳۱ b= ۵۴/۶۷۲۶ c= ۷/۶۲۵۹	q <sub>s</sub> = .۰/۲۷۸۰ b= ۱/۱۸۷۷ c= ۱/۹۹۵۷	q <sub>s</sub> = ۷/۵۶۷۵ b= ۵۴/۹۰۰۰ c= -۱/۹۷۲۰
N <sub>۲</sub>	q <sub>s</sub> = ۳/۳۲۷۰ b= ۱/۱۱۰۳ c= ۴/۳۸۶۹	q <sub>s</sub> = ۲/۰۵۲۵ b= .۰/۹۳۷۶ c= -.۰/۲۲۸۶	q <sub>s</sub> = .۰/۲۱۹۰ b= ۲۱/۴۲۱۵ c= -۱/۹۷۲۰



شکل ۱۲- منحنی های شکست برای سیستم N<sub>۲</sub>-CH<sub>۴</sub>-CMS۹۵۵ (کسر مولی نیتروژن در جریان ورودی ۰/۰۵ و فشار ۸/۱۰۵۶ اتمسفر)



شکل ۱۲- منحنی های شکست برای سیستم N<sub>۲</sub>-CH<sub>۴</sub>-CMS۹۵۵ در فشار یک اتمسفر و با کسر مولی اولیه نیتروژن در جریان ورودی به ترتیب برابر (۰/۰۱۹) (■)، (۰/۰۴۲) (●) و (۰/۰۰۵) (◆).

های آزمایشگاهی مطابقت خوبی دارد، و مشابه با نتیجه های مدل قبلی می باشد.

- تطابق محاسبات مربوط به مدل لانگ موئیر توسعه یافته با نتیجه های آزمایشگاهی بیشتر از سایر مدل ها می باشد به ویژه برای سیستم N<sub>۲</sub>-CH<sub>۴</sub>-CMS۹۵۵، و با توجه به سادگی این مدل کاربرد آن در مقایسه با سایر مدل ها ارجحیت دارد.

- زمان لازم برای رسیدن به حالت تعادل برای جذب مخلوط گازها در مقایسه با گازهای خالص بیشتر می باشد. افزایش زمان جذب را می توان به تمایل مولکولی گازها در کنار هم که ایجاد

نتیجه های مدل لانگ موئیر با داده های آزمایشگاهی به ویژه برای جذب گازهای خالص متان و نیتروژن روی جاذب غربال مولکولی مطابقت ندارد.

- نتایج محاسبات توسط مدل (Sips) لانگ موئیر- فرزلیچ برای جذب گازهای خالص متان و نیتروژن و مخلوط این دو گاز بر روی هرسه نوع جاذب با داده های آزمایشگاهی مطابقت خوبی دارد.

- نتیجه های محاسبات مربوط به مدل Toth برای جذب گازهای خالص نیتروژن و متان روی غربال مولکولی با نتیجه

باعث زیاد شدن سرعت جذب و در نتیجه جداسازی بهتر می شود.  
تفییرات منحنی شکست با افزایش غلظت نیتروژن در جریان  
ورودی به ستون تا کسر مولی ۰/۴۲ قابل ملاحظه نیست.

تاریخ دریافت: ۱۰/۱۰/۱۰، تاریخ پذیرش: ۱۱/۰۵/۷

نوعی مقاومت در برابر انتقال جرم در فرآیند جذب به وسیله جاذب  
می نماید نسبت دارد.

- با توجه به منحنی های شکست، تا زمان رسیدن به نقطه  
شکست متان خالص در جریان خروجی از ستون به دست می آید  
و با افزایش فشار این زمان نیز افزایش می یابد، زیرا افزایش فشار

## مراجع

- [1] Habgood ,H.W., "Removal of Nitrogen from Natural Gas", U.S. Pat. **2843219**, (1957).
- [2] Butwell K. F., Dolan ,W. B., Kuznicki S. M., "Selective Removal of Nitrogen from Natural Gas by Pressure Swing Adsorption", U.S. Pat. **6197092**, ( 2001).
- [3] Chien-Chung Chao, "Selective Adsorption on Magnesium – Containing Chinoptilolites", Millwood, N.Y. U.S. Pat. **4964889**, (1990).
- [4] Crittenden, B. and Thomas ,W.J., " Adsorption Technology & Design", Butterworth -- Heinmann, (1998).
- [5] Ruthven, D.M. , "Principles of Adsorption and Adsorption Processes", John Wiley & Sons, N.Y. (1984).
- [6] Valenzuela ,D. P. and Myers A., "Adsorption Equilibrium Data Handbook", Prentice – Hall Inc. ( 1989).
- [7] Chuncai Yao, Extended and Improved Langmuir Equation for Correlating Adsorption Equilibrium Data, *Sep. Pur. Technol.*, **19**,237, (2000).
- [8] Yang, R.T. and Ackley, M.W., "Kinetic Separation by Pressure Swing Adsorption: Method of Characteristics Model", *AICHE* , **36**, 1229, (1990).
- [9] Nakahara,T. Hirata, M. and Omori, T., "Adsorption of Hydrocarbons on Carbon Molecular Sieve", *J. Chem. Eng.Data*, **19**, 310,( 1974).
- [10] Lederman, P. B. and Williams, B., "The Adsorption of Nitrogen- Methane on Molecular Sieves", *AICHE* , **10**,30, (1964).
- [11] Loughlin, K.F., Hassan ,M.M., Fatehi ,A.I. and Zahur ,M., Rate and Equilibrium Sorption Parameters for Nitrogen and Methane on Carbon Molecular Sieve, *Gas Sep.Pur.* **7**, 264, (1993).

[۱۲] پاک سرشت، سعید؛ بررسی عملکرد بسترهای شبیه متحرک به عنوان راکتورهای جداکننده، پایان نامه دکتری، دانشگاه صنعتی شریف، (۱۳۷۸).

[۱۳] ابراهیم نژاد، معصومه؛ امکان سنجی استفاده از جذب سطحی جهت جداسازی نیتروژن از متان، پایان نامه کارشناسی ارشد،دانشگاه علوم و فنون مازندران، (۱۳۸۰).